



مطالعه‌ی عددی کوش گویی صلب به سطح آب در حالت متقارن و نامتقارن با به کارگیری نرم‌افزار اوپن‌فوم

مبین معصومی^۱, مهدی یوسفی‌فرد^{۲*}, عباس رامیار^۳

- ۱- دانشجوی کارشناسی ارشد، مهندسی معماری کشتی، دانشگاه صنعتی نوشیروانی بابل، بابل
 ۲- استادیار، مهندسی مکانیک، دانشگاه صنعتی نوشیروانی بابل، بابل
 ۳- دانشیار، مهندسی مکانیک، دانشگاه صنعتی نوشیروانی بابل، بابل
 * بابل، صندوق پستی ۴۷۱۴۸۷۱۱۶۷ yousefifard@nit.ac.ir

چکیده

در این مقاله، مسئله‌ی ورود گویی صلب تحت شرایط مختلف به آب با استفاده از روش تحلیل عددی مورد ارزیابی قرار می‌گیرد. این مسئله همچنان‌با عنوان یکی از موضوعات بنیادی در مطالعات هیدرودینامیکی مطرح بوده و به عنوان مرجعی برای مطالعات پدیده‌هایی نظیر کوش شناخته می‌شود. محاسبه‌ی دقیق فشار ناشی از پدیده‌ی برخورد به سطح آب می‌تواند در تحلیل مناسب سازه‌ی شناورها به کار گرفته شود. در این پژوهش، با استفاده از روش دینامیک سیالات محاسباتی براساس کد منتباز اوین فوم و حل عددی معادلات حاکم بر سیال دوفازی، متغیرهای مهمی نظیر سرعت و فشار سیال مورد ارزیابی قرار گرفته است. به منظور بررسی صحت نتایج عددی به دست آمده از تحلیل حاضر، مقادیر مربوط به حداکثر فشار و محل و زمان دقیق وقوع آن و همچنین توزیع ضرب فشار در محل برخورد، با نتایج آزمایشگاهی مقایسه شده در سایر پژوهش‌ها مورد مقایسه قرار گرفته است. این بررسی‌ها در سرعت‌ها و زوایای برخود متفاوت انجام شده است. با مقایسه‌ی نتایج حل عددی و مقادیر آزمایشگاهی، خطای در محدوده ۲ تا ۹ درصد مشاهده گردید. علاوه بر آن، متغیرهای مؤثر در مقدار فشار اعمال شده به گویه نظیر سرعت ورود به آب و زوایای دیدراز مختلف بدنده تیز مورد بررسی قرار گرفته‌اند.

اطلاعات مقاله

مقاله پژوهشی کامل	1396 اردیبهشت
دربافت: ۱۴ اردیبهشت	1396 خرداد
پذیرش: ۲۴ اردیبهشت	۰۶ مرداد ۱۳۹۶
ارائه در سایت:	
کلید واژگان:	
زاویه‌ی دیدراز	
اوین فوم	
گویه‌ی صلب	
ضریب فشار	

Numerical investigation of symmetry and asymmetry rigid wedge slamming using OpenFOAM code

Mobin Masoomi¹, Mahdi Yousefifard^{2*}, Abas Ramiar²

۱- Department of Naval Architecture, Babol Noshirvani University of Technology, Babol, Iran

۲- Department of Mechanical Engineering, Babol Noshirvani University of Technology, Babol, Iran

* P.O.B. 4714871167 Babol, Iran, yousefifard@nit.ac.ir

ARTICLE INFORMATION

Original Research Paper

Received 04 May 2017

Accepted 14 June 2017

Available Online 28 July 2017

Keywords:
Deadrise Angle
OpenFOAM
Rigid Wedge
Pressure Coefficient

ABSTRACT

In this article, rigid wedge water entry problem under different conditions is evaluated using numerical scheme Rigid wedge water entry continues to be one of the fundamental issues raised in the hydrodynamics studies and is known as a reference for the study of slamming phenomena. The exact calculation of the pressure caused by the slamming phenomenon can be used to analyze the appropriate structural analysis of the ships. In the current study, important variables such as speed and fluid pressure are investigated using computational fluid dynamics method based on the open source OpenFOAM code by numerical solution of the governing equations of tow phase fluid. In order to verify the simulation results obtained from this research, Tthe values of the maximum pressure and the location and exact time of its occurrence and also pressure coefficient distribution at the impact region have been compared by experimental results of other studies. These investigations have been utilized at different impact velocities and angles. By comparing the numerical results and experimental values, an error was found in the range of 2% to 9%. In addition, variables affecting the pressure applied to the wedge such as water entry velocity and different deadrise angles have been studied.

۱- مقدمه

دستیابی به سرعت بیشتر در محیط دریا منجر به ساخت شناورهای پیشرفت‌تر و به تبع آن بروز مسائل دشوارتر در طراحی و تحلیل آنها شده است. افزایش سرعت، بهبود خواص هیدرودینامیکی و کاهش هزینه‌های ساخت منجر به نیاز برای تحلیل‌های دقیق پدیده‌هایی شده است که شناورهای پیشرفت‌های با آنها مواجه می‌شوند. اندرکنش سازه و سیال، بخصوص

در شرایطی که حرکت جسم در سطح مشترک دو سیال انجام می‌گیرد، نیازمند بهره‌گیری از روش‌های حل عددی کارآمد و همچنین اطمینان از درستی روش حل می‌باشد. گسترش دانش در حوزه‌ی دینامیک سیالات محاسباتی^۱ و همچنین در دسترس بودن توان محاسباتی رایانه‌های جدید این امکان را فراهم آورده است تا مسائلی از این دست را بتوان با دقت و کیفیت

^۱ Computational Fluid Dynamics (CFD)

Please cite this article using:

M. Masoomi, M. Yousefifard, A. Ramiar, Numerical investigation of symmetry and asymmetry rigid wedge slamming using OpenFOAM code, *Modares Mechanical Engineering*, Vol. 17, No. 7, pp. 343-352, 2017 (in Persian)

ارضاء شرایط مرزی چرخشی سطح آزاد، اصل بقاء جرم، مومنتوم و انرژی مورد بررسی قرار گرفته است. این روش در سال 2005 به یک مسئله‌ی سه‌بعدی توسط فالتینسن و چریان تعمیم یافت [9]. البته مسائل مربوط به ورود گویه‌ی نامتقارن در مقایسه با ورود گویه‌ی متقارن کمتر مورد توجه قرار گرفته‌اند. از سوی دیگر، توسعه‌ی روش‌های تحلیلی که بر مبنای حل جریان پتانسیل صورت گرفته‌اند نیز توسط محققینی نظری گارابدیان [10] در سال 1953 و بورگ [11] در سال 1975 با تکیه بر مسئله‌ی ورود گویه‌ی نامتقارن به آب صورت گرفته است.

در تحقیق پیش رو نیز هر دو حالت ورود متقارن و نامتقارن گویه مورد ارزیابی قرار گرفته است. ابتدا معادلات حاکم بر جریان لزج که توسط کد اوپن فوم مورد استفاده قرار گرفته است ارائه خواهد شد. قبل از شروع حل عددی مسئله، اثرات شبکه و دامنه‌ی حل بر کیفیت حل عددی بررسی می‌شود. صحبت‌سنجی روش عددی نیز با مقایسه‌ی نتایج در حالات مختلف با مقادیر حاصل از آزمایش سایر محققین صورت می‌پذیرد. همچنین اثرات زوایای برخورد و سرعت گویه در لحظه‌ی ورود به آب نیز ارائه شده است.

2- معادلات حاکم

همانطور که اشاره شد، می‌توان حل مسئله‌ی ورود گویه به آب را با استفاده از جریان پتانسیل نیز انجام داد. چنین رویکردی در مواجهه با هندسه‌ی پیچیده و سرعت زیاد گویه کاربرد خود را از دست خواهد داد. بنابراین در تحقیق حاضر از حلگری استفاده شده است که توانایی حل معادلات ناویر-استوکس را در سیال دوفازی داشته باشد. معادلات کلی حاکم بر حرکت سیال شامل معادلات بقای جرم و مومنتوم به شکل زیر می‌باشد [12].

$$\nabla \cdot U = 0 \quad (1)$$

$$\frac{\partial \rho U}{\partial t} + \nabla \cdot (\rho U U) = -\nabla p_d - g \cdot x \nabla \rho + \nabla \cdot \mu \nabla U + (\nabla U) \cdot \nabla \mu \quad (2)$$

که در این معادلات، U بردار سرعت سیال، ρ و μ به ترتیب چگالی و ویسکوزیته‌ی دینامیک سیال، g بردار گرانش و p_d بیانگر فشار دینامیک سیال می‌باشد. فشار کل را نیز می‌توان از معادله‌ی 3 بدست آورد.

$$p = p_d + \rho g \cdot x \quad (3)$$

از روش حجم سیال برای شبیه‌سازی سطح آزاد استفاده شده است و در این روش، توزیع سیال در سلول‌ها توسط تعریفتابع شاخص فاز^۲ (γ) تعیین می‌گردد. اگر متغیر اسکالار γ مقداری برابر یک داشته باشد، یعنی در آن سلول آب وجود دارد و اگر این مقدار برابر صفر باشد، به معنی وجود هوا در سلول مورد نظر می‌باشد. این تابع در معادله‌ی انتقال زیر صدق می‌کند:

$$\frac{\partial \gamma}{\partial t} + \nabla \cdot (U_r \gamma) + \nabla \cdot (U_r (1 - \gamma)) = 0 \quad (4)$$

که U_r میدان سرعت کمکی برای متراکم نمودن سطح آزاد است. حل معادله‌ی (3) این امکان را فراهم می‌آورد تا بتوان چگالی و ویسکوزیته سیال را در هر نقطه از میدان جریان به دست آورد.

$$\rho(x) = \rho_{\text{water}} \gamma(x) + \rho_{\text{air}} (1 - \gamma(x)) \quad (5)$$

$$\mu(x) = \mu_{\text{water}} \gamma(x) + \mu_{\text{air}} (1 - \gamma(x)) \quad (6)$$

الگوریتم PISO برای کوپل فشار و سرعت سیال تراکمن‌پذیر در این پژوهش مورد استفاده قرار گرفته است [13]. از طرفی، معادله‌ی مشخصه‌ی فاز به صورت صریح نسبت به زمان و با استفاده از روش تفاضل محدود حل شده است.

بیشتری مورد بررسی قرار داد. لزوم اطمینان از صحت کار عددی باعث می‌شود تا برای انجام درست این تحقیق از تمامی ابزارهای لازم نظری صحه‌گذاری با نتایج تجربی معتبر و همچنین بررسی دقیق اثرات فیزیک حل عددی بر دقت نتایج بهره‌ی لازم گرفته شود.

یکی از مسائلی که در حوزه‌ی هیدرودینامیک شناورهای تندره و همچنان به عنوان یک مرجع برای ساده‌سازی تحلیل حرکات این شناورها مورد استفاده قرار می‌گیرد، پدیده‌ی ورود جسم صلب گویه‌ای شکل به آب و تحلیل دقیق سیال و سازه در لحظه‌ی برخورد می‌باشد. نتایج حاصل از چنین تحلیل‌هایی منجر به ارائه روابط ساده‌تر که مبنای تئوری‌های تخمین حرکات دینامیکی شناورهای تندره است می‌گردد.

در پدیده‌ی ورود جسم به آب، زاویه‌ی سطح آب و جسم (بدنه‌ی شناور) از اهمیت بالایی برخوردار می‌باشد (زاویه‌ی دیرایز). در واقع هر چه این زاویه دارای مقدار عددی کمتری باشد، هنگام وقوع پدیده‌ی کوبش^۳، بارهای بزرگتری به سازه اعمال می‌گردد. پیش‌بینی مکان و زمان دقیق وقوع فشار بیشینه در تحلیل‌های سازه‌ای خودنمایی می‌کند. تحلیل دقیق چنین پدیده‌هایی به روش عددی دارای دشواری‌های زیادی است. زمان بسیار کوتاه برخورد (چند میلی ثانیه)، تغییرات ناگهانی فشار، تغییر شکل سطح آزاد و پاشش سیال، پارهای از این موارد را شامل می‌شود.

مسئله‌ی ورود جسم به آب اولین بار با استفاده از مدل ریاضی بر مبنای تئوری مومنتوم و جرم اضافه توسط فون کارمن در سال 1929 مورد بررسی قرار گرفت [1]. واگنر در سال 1932 اثر بالاً‌آمدگی سطح آب را نیز به مسئله اضافه و مدل ریاضی دقیق‌تری به دست آورد [2]. این نتایج به عنوان پایه‌ای جهت تحقیقات در سالیان بعد مورد استفاده قرار گرفت. در طول چند دهه، از روش‌های مختلف عددی و تحلیلی برای بررسی عامل تأثیرگذار در دقت نتایج خروجی و ارتفاع حل در مسئله ورود گویه به آب و پدیده‌ی کوبش استفاده شد. به عنوان مثال، تا قبل از سال 1987 معمولاً اثرات جاذبه در این گونه مسائل در نظر گرفته نمی‌شد، ولی گرین‌هو در سال 1987 مسئله‌ی دو بعدی ورود گویه به سیال را با در نظر گرفتن جاذبه مورد بررسی قرار داد [3]. تحقیقات گرین‌هو مؤید این مطلب است که جز در منطقه‌ی پاشش جت در پیرامون ناحیه‌ی تماس، جاذبه می‌تواند نادیده گرفته شود. در واقع در یک حالت کلی می‌توان نتیجه گرفت که اگر رابطه‌ی $V > 2gt$ برقرار باشد، می‌توان اثرات جاذبه را نادیده گرفت (V سرعت برخورد و t زمان برخورد است). دوبروکایا نیز توانست با در نظر گرفتن دستهای از معادلات غیرخطی یکپارچه و حل این معادلات به صورت عددی، این نوع از مسائل را شبیه‌سازی کند [4]. البته، این تحلیل فقط برای سرعت ثابت وارد شدن به آب و جاذبه‌ی صفر معتبر بود.

در ادامه‌ی بررسی‌های صورت پذیرفته به منظور ارزیابی تأثیر متغیرهای مختلف بر روحی جواب نهایی، موزافریجا و همکاران در سال 1997 تأثیر لزجت را در این پدیده بررسی کردند [5]. آن‌ها به این نتیجه دست یافتدند که ویسکوزیته‌ی سیال تنها برای پیش‌بینی شکل سطح آزاد دارای همیت بوده و مقادیری که برای نیروهای هیدرودینامیکی و توزیع فشار در سطح تر شده از گویه به دست آمده، تطابق تقریبی با مدل غیرلزج دارد. در ادامه‌ی این بررسی‌ها، کروبکین [6] در سال 1997 و کامپانا و همکاران [7] در سال 1998 اثر سیال قابل تراکم را در این مسئله مورد بررسی قرار دادند. همچنین ژائو و همکاران در سال 1996 یک روش المان مرزی غیرخطی را برای حل این مسئله ارائه دادند [8]. در تحقیق اخیر، مسئله‌ی کوبش با استفاده از

² Phase indicator function

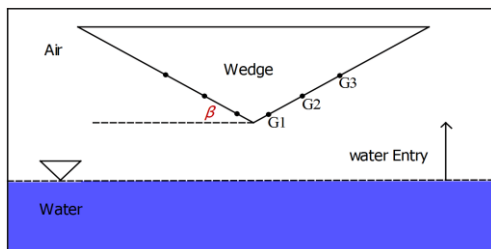


Fig. 1 Arrangement of pressure gauge on the wedge surface
شکل 1 جانمایی فشارسنج‌ها بر روی سطح گوشه

جدول 2 مکان قرارگیری فشارسنج‌ها نسبت با رأس گوشه

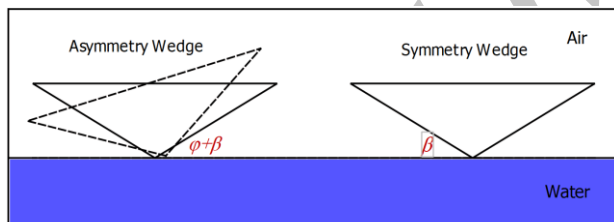
Table 2 Position of pressure gauges based on the wedge apex

شماره‌ی فشارسنج	فاصله از رأس گوشه
(1) فشارسنج (G1)	16 میلی‌متر
(2) فشارسنج (G2)	71 میلی‌متر
(3) فشارسنج (G3)	126 میلی‌متر

به صورت گوشه‌ی متقارن استفاده خواهد شد. از سوی دیگر، به منظور بررسی برخورد گوشه‌ی نامتقارن نیز از زوایای انحراف ۵ و ۱۰ درجه در دامنه‌ی حل استفاده شده است. چگونگی انحراف گوشه در "شکل 2" نشان داده شده است. با توجه به حساسیت بالای پدیده‌ی کوبش، از شبیه‌سازی‌های متعددی با توجه به زوایا و سرعت برخورد گوشه به آب استفاده شده که در جدول 3 نشان داده شده است. آب از ورودی با سرعت ثابت وارد شده و به گوشه صلب دو بعدی برخورد می‌کند. در این مقاله سرعت‌های متفاوتی نیز برای برخورد با آب در نظر گرفته شده است.

3-3- شبکه‌بندی

شبکه‌بندی با استفاده از سلول‌های 8 و 4 و جهی ساخته شده و دامنه‌ی کلی



شکل 2 نحوه انحراف گوشه نسبت به سطح آزاد
شکل 2 نحوه انحراف گوشه نسبت به سطح آزاد

جدول 3 ویژگی‌های هندسی گوشه و شرایط مختلف برخورد

Table 3 Geometrical wedge properties and different impact condition

شماره‌ی حل	زاویه‌ی انحراف (φ)	ارتفاع سقوط گوشه (h)	زاویه‌ی ددرایز (β)
15 درجه	0.5 متر	-	S1
30 درجه	0.5 متر	-	S2
20 درجه	0.5 متر	5 درجه	S3
15 درجه	0.75 متر	-	S4
25 درجه	0.2 متر	-	S5
15 درجه	0.2 متر	-	S6
20 درجه	0.5 متر	10 درجه	S7
20 درجه	0.5 متر	-	S8
25 درجه	0.5 متر	-	S9
35 درجه	0.5 متر	-	S10

3- روش حل عددی

تست‌های مربوط به کوبش همواره از حساس‌ترین آزمایش‌ها در حوزه‌ی هیدرودینامیک شناخته می‌شود. در بسیاری از موارد نیاز است تا چندین آزمایش برای یک نمونه اجام شده و نهایتاً برآیندی از نتایج به دست آمده به عنوان مقدار نهایی در نظر گرفته شود. در این مقاله از روش عددی به منظور به دست آوردن فشار استفاده خواهد شد.

شرایط آزمایش به گونه‌ای است که در آن گوشه صلب بر روی ریلهای ثابت شده و دقیقاً در راستای معین به سطح آب برخورد می‌کند. به منظور شبیه‌سازی عددی نیز از همین رویه بهره گرفته شده است. البته با انجام شبیه‌سازی‌های مکرر، مشاهده گردید که در صورت استفاده از گوشه‌ی ثابت و حرکت سیال به سمت آن، نتایج دقیق‌تری حاصل می‌گردد. برای به دست آوردن سرعت برخورد با توجه به ارتفاع گوشه نسبت به سطح آب در نمونه آزمایشگاهی می‌توان از معادله (7) استفاده کرد.

$$V^2 - V_0^2 = 2gh \quad (7)$$

با استفاده از این روش می‌توان به نتایج مشابه با هزینه‌ی زمانی کمتر و حجم محاسبات پایین‌تر دست یافت. یکی از موارد اساسی در تعیین فشار، به منظور صحبت‌سنجی، تعیین محل قرارگیری فشارسنج برای اندازه‌گیری دقیق فشار می‌باشد. از آن جا که طبیعت پدیده‌ی کوبش با سرعت سیار زیادی رخ می‌دهد، جانمایی صحیح فشارسنج‌ها برای دست‌یابی به نتایج مشابه با آزمایش از ملزمات کلیدی تلقی می‌گردد. بدین سبب با استفاده از تکنیک‌های موجود در نرم‌افزار پاراویو¹ و با طراحی فشارسنج‌های مجازی در فضای حل مسئله در نرم افزار اوین فوم می‌توان جانمایی از فشارسنج‌ها را مطابق پژوهش بر جسته و همکاران [14] پیاده‌سازی نمود.

3- ابعاد تانک عددی

ابعاد حوضچه تأثیر بسزایی در نتایج نهایی شبیه‌سازی به دنبال خواهد داشت. از این‌رو آنکه در سال 2013 مطالعاتی را انجام دادند و ابعاد بهینه برای چنین مسأله‌ای در تحقیق ایشان مورد ارزیابی قرار گرفت [15]. در پژوهش حاضر به منظور بررسی صحبت نتایج براساس مقادیر به دست آمده از آزمایش انجام گرفته توسط بر جسته و همکاران [14]، ابعاد حوضچه‌ی عددی این تحقیق نیز معادل کار آزمایشگاهی موردنظر انتخاب شده و در جدول 1 ارائه گردیده است.

محل قرارگیری فشارسنج‌ها که به دلیل تغییرات شدید موضعی فشار در سطح گوشه از اهمیت بالایی در روند حل و نتایج خروجی برخوردار هستند به صورتی که در "شکل 1" نشان داده شده است جانمایی می‌شود. فشارسنج‌ها به دو قسمت در بال راست و چپ گوشه تقسیم شده، که از لحاظ فواصل میان فشارسنج‌ها طرف راست و چپ مشابه هستند و از فاصله یکسانی نسبت به رأس گوشه قرار می‌گیرند. در جدول 2 نیز مکان دقیق نصب فشارسنج‌ها براساس فاصله از رأس گوشه ارائه شده است.

3- مشخصات گوشه

از گوهه‌ای با طول بال 0.3 متر با زوایای ددرایز 15، 20، 25، 30 و 35 درجه

جدول 1 ابعاد حوضچه‌ی عددی

Table 1 The numerical tank dimensions

شماره‌ی حوضچه	طول (متر)	عرض (متر)	ارتفاع (متر)
I	1.22	0.572	0.681

¹ paraview

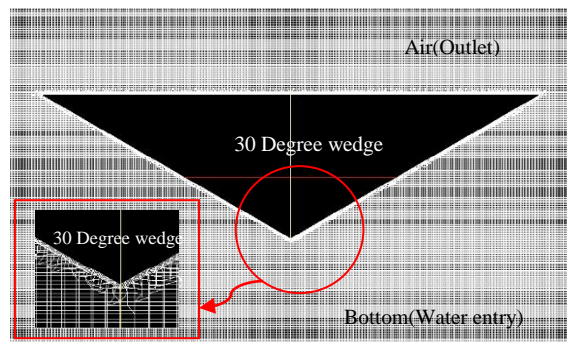


Fig. 3 View of grid of solution domain

شکل 3 نمایی از شبکه‌بندی دامنه حل

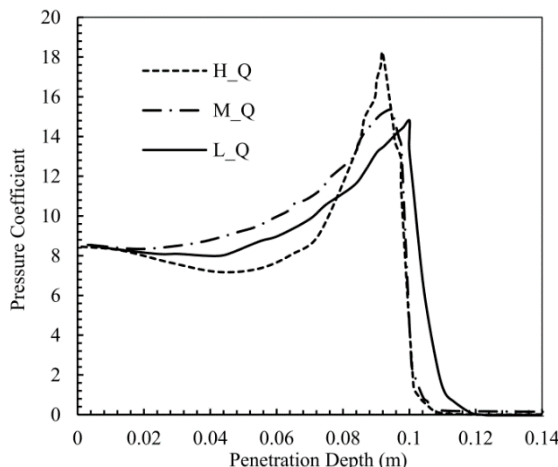


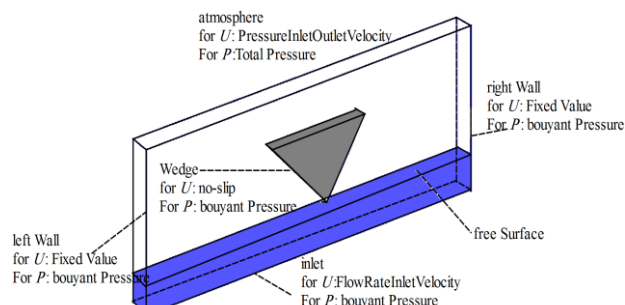
Fig. 4 Effects of the mesh quality on pressure coefficient (s4)

شکل 4 تأثیر کیفیت شبکه بر ضریب فشار

افزایش یافته است، که این امر ناشی از حساس بودن پدیده‌ی کوبش به تغییرات مکان و زمان خواهد بود.
به منظور سهولت در امر محاسبات و بهبود شبکه در شبیه‌سازی عددی،
سعی شده در آزمایشات گوشه بدون انحراف و متقارن از شرط تقارن بهره گرفته
شود. بدین منظور فقط نیمه‌ی سمت راست گوشه از رأس گوشه تا انتهای آن با
شرط مرزی متقارن در نظر گرفته شده است.

3-4- شرایط مرزی

به منظور شبیه‌سازی ورود آب، نرخ جریان با سرعت ورودی³ که در قسمت
کف دامنه محاسباتی قرار دارد به عنوان شرط مرزی در نظر گرفته شده است
(شکل 5). همچنین برای خروج هوا از دامنه حل و جلوگیری از افزایش فشار



شکل 5 شرایط مرزی دامنه حل

³ flow rate inlet velocity

حل به چند زیر دامنه تقسیم‌بندی شده است. این تقسیم‌بندی دامنه به منظور دستیابی به بهترین کیفیت برای ریاضی سطح آزاد و نواحی که در آن‌ها گرادیان‌های بالای سرعت و فشار رخ می‌دهد به وجود آمده است. علاوه بر این که یک سطح لایه‌ای (لایه‌بندی) هم به دامنه سلول‌ها افزوده شده تا سطوح تقابل بین گوشه‌ی صلب و دامنه حل سیال با صحت و دقیق‌تر باشد. تعداد لایه‌ها در ابزار اسپی‌هگزمنش¹ برابر با 4 در نظر گرفته شده است. نمایی رو به رو و دو بعدی از نحوه‌ی شبکه‌بندی گوشه با زاویه‌ی دیدراز 30 درجه به عنوان نمونه‌ای از گوشه‌های مختلف با رعایت اصول ذکر شده، در "شکل 3" نشان داده شده است، به منظور شبیه‌سازی هر چه دقیق‌تر جریان در مجاورت دیواره گوشه، براساس سرعت جریان و اندازه‌ی شبکه در مجاورت سطح گوشه، مقدار Y^+ عددی بین 2.3e-4 و 6.25e-4 بسته به سرعت جریان متغیر می‌باشد. اندازه‌ی شبکه و گام‌های زمانی باید همیشه به صورت همزمان در نظر گرفته شوند، به این دلیل که همگرایی و پایداری حل بستگی مستقیم به ارتباط این دو پارامتر خواهد داشت، از این‌رو از معیاری با نام عدد کورانت² که ارتباط بین این دو پارامتر را معین می‌کند استفاده خواهد شد. به منظور ایجاد بهینه‌ترین حالت برای شبکه‌بندی، از سه نوع شبکه‌بندی مطابق جدول 4 استفاده شده تا بهترین اندازه‌ی شبکه هم از لحاظ صحبت نتایج خروجی و هم از لحاظ هزینه‌ی محاسباتی بدست آید. بعد از انجام شبیه‌سازی، نتایج حل به صورت "شکل 4" نمایش داده می‌شود. از آن جایی که در مسأله کوبش، مقدار عددی که برای حداکثر فشار رخ می‌دهد را نمی‌توان به عنوان متغیری برای همگرایی قرار داد، بنابراین برای بررسی کیفیت شبکه، از ضریب فشار می‌توان به عنوان پارامتر معیار استفاده نمود. مقادیر بدست آمده برای ضریب فشار براساس رابطه‌ی (8) مورد بررسی قرار گرفته است.

$$C_{p_{\max}} = \frac{p_{\max}}{0.5\rho_w V_0^2} \quad (8)$$

نتایج ضریب فشار ناشی از کوبش حاصل از شبیه‌سازی بروخود گوشه مربوط به حل 84 که در آن از گوشه با زاویه دیدراز 15 درجه و ارتفاع سقوط 0.75 متر استفاده شده است، با درجات مختلف کیفی از مش به صورت نمودار مقایسه‌ای، در "شکل 4" نمایش داده شده است. علاوه بر مشاهده‌ی میزان خطای ایجاد شده در اثر تفاوت میان کیفیت شبکه‌بندی، به این نکته نیز می‌توان بی برد که با ریزتر شدن سلول‌ها، مقادیر حداکثر ضریب فشار نیز

جدول 4 مشخصات شبکه‌بندی دامنه حل عددی

Table 4 Grids specification in numerical solution domain

مشخصات شبکه	کیفیت زیاد (H_Q)	کیفیت متوسط (M_Q)	کیفیت کم (L_Q)
تعداد کلی سلول‌ها	12232	9301	2812
اندازه‌ی کل دامنه (متر)			(0.1, 0.1)
شبکه‌ی حول سطح آزاد			(0.1, 0.0125)
شبکه‌ی اطراف گوشه‌ی صلب			(0.5, 0.0062)
در طول دیواره گوشه			(0.00125, 0.5)
تعداد لایه‌های سطحی اطراف گوشه	4	4	4

¹ snappyhexmesh² Courant number

جدول ۵ ثابت‌های مشخصات فیزیکی در حل عددی

Table 5 Physical constant properties of the numerical solution

ثابت‌های فیزیکی	کشش سطحی [N/m]	چگالی آب [kg/m ³]	ویسکوزیته (v)	شتاب جاذبه [m/s ²]
9.81	0.07	1000	0.000001	مقادیر

جدول ۶ مقادیر تنظیمات مورد استفاده در حلگر

Table 6 Solver setting values

مقادیر	متغیر
0.5	حداکثر عدد کورانت
0.00002	گام زمانی (ثانیه)
0.4	فاکتور ضریب آرامش (فشار)
0.8	فاکتور ضریب آرامش (سرعت)

متری انتخاب شده‌اند. با جایگزینی مقادیر حداکثر فشار در رابطه‌ی ضربی فشار، می‌توان مقادیر مورد نظر برای ضربی حداکثر فشار را به دست آورد. به منظور بررسی هر چه بہتر صحت حل عددی صورت پذیرفت، نتایج به صورت همزمان با داده‌های حل تحلیلی واگنر [2] و نتایج آزمایشگاهی بر جسته و همکاران [14] مورد مقایسه و ارزیابی قرار گرفتند. با مقایسه‌ی اعداد مربوط به حداکثر ضربی فشار، خطای روش عددی پژوهش حاضر نسبت به نتایج آزمایشگاهی حداکثر بین ۰/۲ تا ۹٪ متغیر خواهد بود. که این تغییر وابستگی شدیدی به زاویه ددرایز گوشه خواهد داشت. به صورتی که هر چه زوایای ددرایز کوچک‌تر می‌شوند، نتایج حل عددی و تحلیلی تا حدودی از نتایج آزمایشگاهی فاصله می‌گیرند. نمودار مربوط به صحت نتایج با به کار گیری ضربی فشار در "شکل ۶" گنجانده شده است.

4-2- مقایسه‌ی بیشینه‌ی فشار

معمولًا از بیشینه‌ی ضربی فشار به عنوان معیاری برای بررسی صحت نتایج استفاده می‌شود. با این وجود، در پژوهش حاضر همان‌طور که در "شکل‌های ۷ و ۸" مشاهده می‌گردد، خروجی نتایج مرتبط با بیشینه‌ی فشار نیز تطابق مناسبی با نتایج آزمایشگاهی دارند. همان‌طور که در بخش مربوط به صحت نتایج با معیار ضربی فشار نیز اشاره گردید، عموماً نتایج حاصل از شبیه‌سازی با استفاده از گوشه‌ای با زاویه‌ی ددرایز کوچک، به دلیل فرضیاتی نظری ثابت بودن سرعت و کم نشدن سرعت برخورد به آب در حین کوبش و در نظر

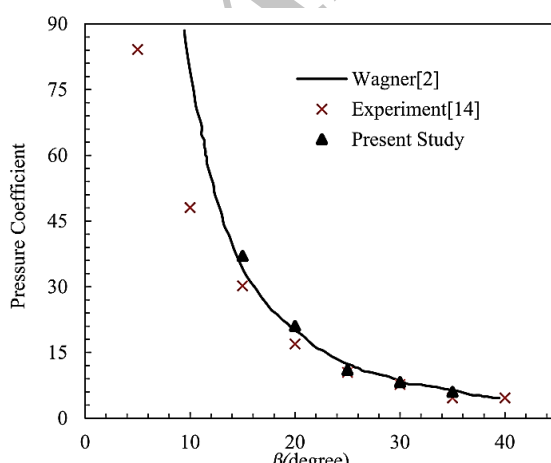


Fig. 6 Comparison of the maximum pressure coefficient at different deadrise angles

شکل ۶ مقایسه‌ی بیشینه‌ی ضربی فشار در زوایای ددرایز مختلف

فاز هوا از شرط مرزی فشار سرعت ورودی و خروجی^۱ در قسمت بالای دامنه محاسباتی استفاده شده است. در حالت‌هایی که از شرط تقارن برای گوشه استفاده شده است، برای مرز دیواره‌ی چپ از شرط مرزی تقارن صفحه‌ای بهره گرفته شده است. برای سطوح گوشه‌ی صلب دو بعدی نیز از شرط عدم لغزش^۲ استفاده شده که در صورت در نظر نگرفتن ویسکوزیته این شرط تبدیل به لغزش آزاد^۳ خواهد شد.

5-3- شرایط اولیه

همان‌طور که اشاره گردید، سطح آزاد آب با استفاده از تکنیک حجم سیال^۴ در نرم‌افزار اوپن فوم شبیه‌سازی می‌شود. در دامنه حل، این سطح با فاصله‌ای معین نسبت به رأس گوشه قرار می‌گیرد تا در هنگام برخورد شرایط سرعت و فشار سطح آزاد به شرایط یکنواخت موردنظر برسند. سرعت اولیه‌ی برخورد با توجه به ارتفاع‌های مختلف برخورد متفاوت خواهد بود، که در شرط مرزی ورودی برای سرعت، با اختصاص مقادیری برای نرخ جریان به دست خواهد آمد و فشار اولیه‌ی مرجع نیز برابر با صفر در نظر گرفته می‌شود. ثابت‌های فیزیکی به کار رفته در حل عددی مسئله در جدول ۵ گنجانده شده‌اند.

6- مشخصات حلگر

به منظور شبیه‌سازی پدیده‌ی کوبش از مجموعه کدهای متن باز نرم‌افزار اوپن فوم، حلگر اینترفوم^۵ که یک حلگر چندفازی بوده و برای جریان‌های تراکم‌ناپذیر که دارای سطح آزاد هستند مناسب می‌باشد، استفاده شده است [16].

مهم‌ترین تنظیماتی که می‌توان در این حلگر مورد استفاده قرار داد، عدد کورانت، گام زمانی و فاکتور ضربی آرامش برای سرعت و فشار می‌باشد. مشخصات متغیرهای مربوط به تنظیمات حلگر به اختصار در جدول 6 نشان داده شده‌اند.

بعد از اعمال تنظیمات نهایی حلگر، محاسبات نهایی توسط رایانه‌ای مجهز به ۸ گیگابایت حافظه‌ی رم و پردازشگر Core i5-2640 @ 3.5GHz انجام پذیرفت. زمان تقریبی برای حل به طور متوسط 10 ساعت می‌باشد که این زمان به دلیل ایجاد تغییرات مناسب در حلگر و شبکه‌بندی بهینه محقق گشته است.

4- صحت‌سنجی حل عددی

صحت‌سنجی روش حل عددی با مقایسه‌ی بیشترین مقادیر ضربی فشار در زوایای ددرایز مختلف و همچنین تغییرات بیشترین مقدار فشار در موارد منتخب بر حسب زمان انجام شده است. صحت‌سنجی نتایج براساس گوشه با حالت چاین خشک ارائه شده که در بخش 5-2 به صورت جامع‌تری به شرایط این حالت پرداخته شده است.

4-1- مقایسه‌ی بیشینه‌ی ضربی فشار

به منظور ارزیابی صحت نتایج و مقایسه‌ی آن با محققین پیشین می‌توان از مفهوم ضربی فشار استفاده نمود که یکی از معیارهای اصلی به منظور صحت‌سنجی نتایج در چنین مسائلی می‌باشد. بدین منظور براساس ده نمونه‌ی آزمایشی که در جدول 3 ارائه شده‌اند، موارد S1، S9، S8، S7، S2، S1 و S10 در زوایای ددرایز ۱۵، ۲۰، ۲۵، ۳۰ و ۳۵ درجه با ارتفاع سقوط ۰.۵

¹ pressure inlet/outlet velocity

² no-slip

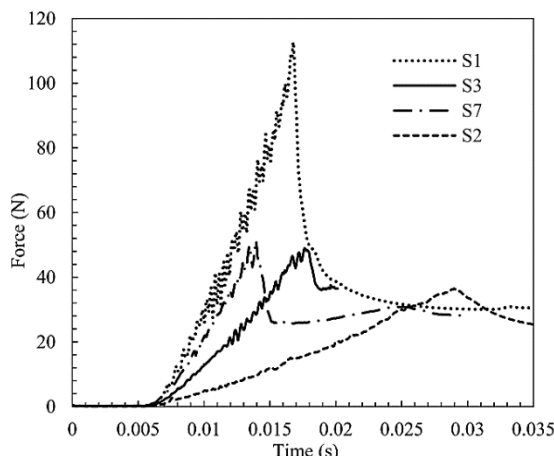
³ free-slip

⁴ VOF (Volum Of Fluid)

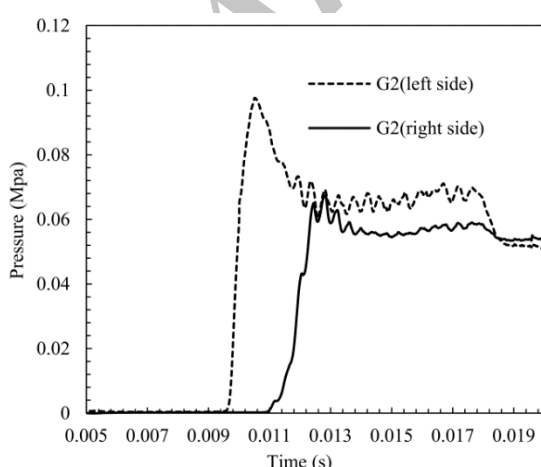
⁵ interFoam

رخ می‌دهد. بنابراین با استفاده از گوشه‌های نامتقارن که دارای درجات انحراف متفاوتی می‌باشند (براساس شکل 9)، می‌توان تخمین مناسبی از فشارهای ثبت شده انجام داد. با مقایسه‌ی نیروی وارد بر گوشه، تغییرات قابل ملاحظه‌ای بین گوشه با $\beta=15$ درجه و $\beta=30$ درجه مشاهده می‌شود، که در واقع افزایش 280 درصدی را نشان می‌دهد. همان‌طور که از "شکل 9" مشخص است، در حالت انحراف 10 درجه، نیروی اعمالی تقریباً یکسان و برابر با 48 نیوتون می‌باشد. با این تفاوت که زمان وقوع آن در گوشه با انحراف 10 درجه، زودتر از گوشه با انحراف 5 درجه می‌باشد.

در "شکل 10" از یک گوشه با $\beta=20$ درجه و زوایه‌ی انحراف 5 درجه استفاده شده است. با توجه به نمودار، افزایش ناگهانی فشار به میزان 45 درصد و در سمت چپ گوشه ایجاد می‌شود. علاوه بر این، نامتقارن شدن گوشه نیز مکان و زمان وقوع حداکثر فشار را از زمان 0.013 به زمان 0.011 تغییر داده است. هرچه انحراف گوشه بیشتر شود، بر درصد افزایش فشار افزوده و زمان وقوع حداکثر فشار نیز به سمت زمان برخورد اولیه‌ی آب به گوشه، میل خواهد کرد. در "شکل 11 و 12" نتایج مربوط به برخورد گوشه با زوایه‌ی انحراف 10 درجه و ارتفاع سقوط 0.5 متر در دو موقعیت مکانی فشارسنج G1 و فشارسنج G2 بررسی شده است.



شکل 9 مقایسه‌ی نیروی وارد شده بر گوشه در زوایای برخورد مختلف به ازای زمان



شکل 10 مقایسه‌ی بیشینه‌ی فشار در محل فشارسنج 2 در دو سمت گوشه ($\beta=20$ deg, $h=0.5$ m, $\varphi=5$ deg)

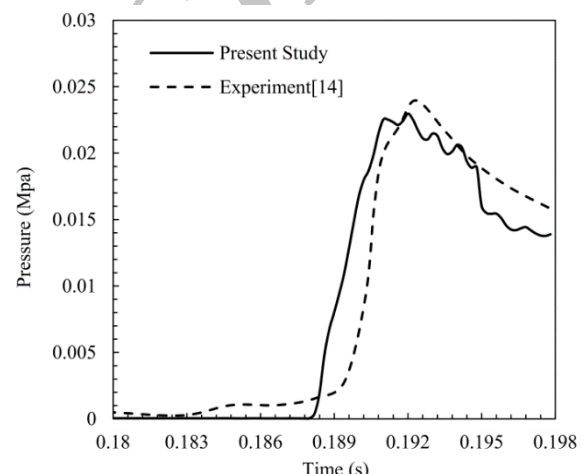
نگفتن تراکم پذیری آب و هوای نتایج آزمایشگاهی فاصله می‌گیرند. در واقع عوامل ذکر شده، در زاویای دیدرایز کم تأثیر بیشتری از خود نشان می‌دهند. البته، در حل عددی صورت پذیرفته در پژوهش حاضر با توجه به "شکل 8" مشاهده می‌شود که نتایج گوشه با $\beta=15$ درجه با ارتفاع سقوط 0.75 متر نیز تطبیق مناسبی با نتایج آزمایشگاهی برخوردار است.

5- نتایج حل عددی

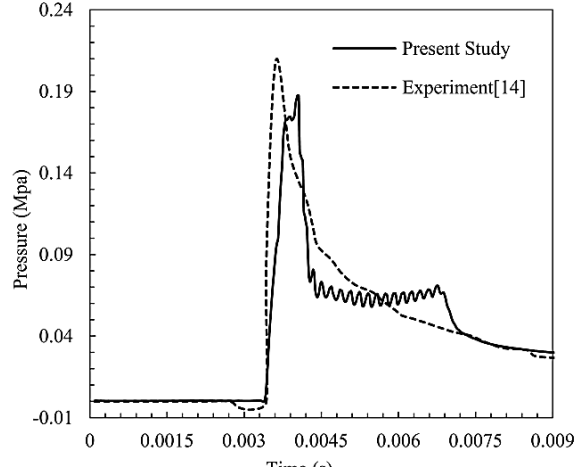
در ادامه، اثر عواملی نظری زاویه‌ی برخورد، ارتفاع اولیه‌ی گوشه و همچنین زاویه‌ی دیدرایز بر روی نتایج بررسی شده و روند کلی جوابها مورد ارزیابی قرار می‌گیرد. همچنین بروز پدیده‌ی خیسی چاین در ورود گوشه نامتقارن و اثرات آن در تغییرات فشار نیز مورد بررسی قرار خواهد گرفت.

5-1- تأثیر تغییر زاویه‌ی برخورد و انحراف گوشه

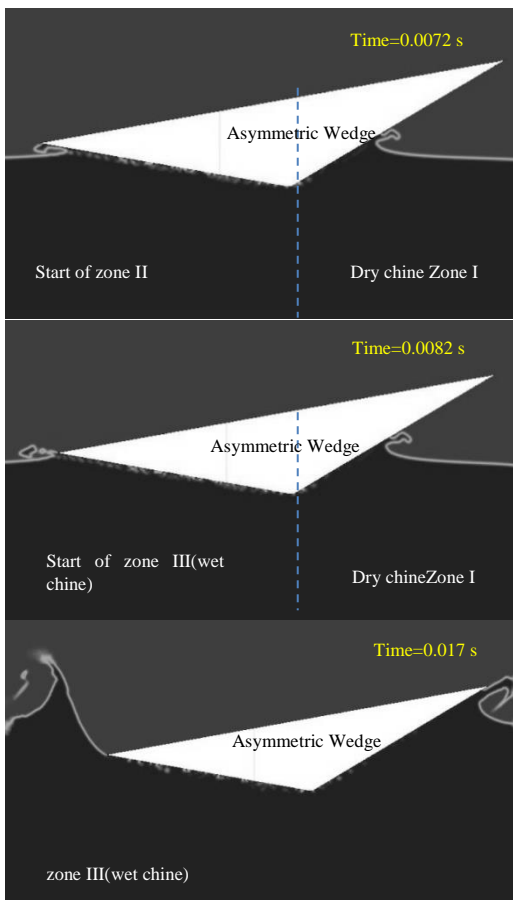
بررسی تأثیرات انحراف گوشه از موضوعات جالب مورد بررسی است. چرا که این شبیه‌سازی در شرایطی انجام می‌گردد که شناور در حالت غیرپایدار و با زوایای مختلف به سطح آب برخورد کرده و پدیده‌ی کوبش در حالت نامتقارن



شکل 7 مقایسه‌ی نتایج بیشینه‌ی فشار در زمان‌های مختلف ($\beta=25$ deg, $h=0.2$ m)



شکل 8 مقایسه‌ی نتایج بیشینه‌ی فشار در زمان‌های مختلف ($\beta=15$ deg, $h=0.75$ m)



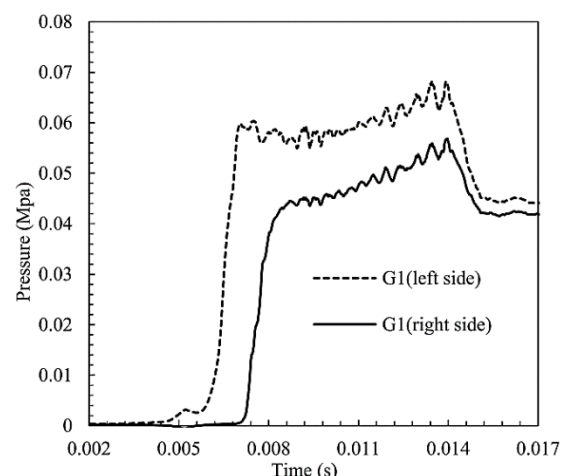
شکل ۱۳ نمای دو بعدی سطح آب در برخورد گوشه‌ی نامتقارن در زمان‌های مختلف (S7) مربوط به حالت

روند این تغییرات توسط ضریبی با عنوان C_{mb} که یک ضریب بی بعد از جرم افزوده می‌باشد و توسط کلرک و تیوپتنس در سال ۲۰۰۸ ارائه شده است ارزیابی می‌شود [۱۷]. بر این اساس برای گوشه با زوایای ددرایز مختلف این ضریب استخراج خواهد شد.

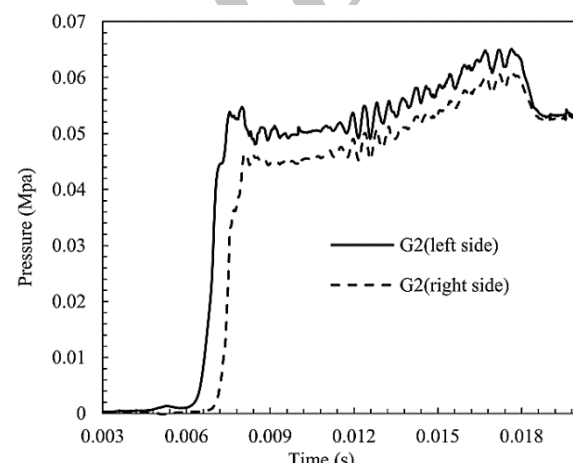
$$C_{my} = \frac{\pi}{2} \left\{ 0.15 + \frac{0.85}{\cos(\beta)} \left(1 - \frac{2\beta}{\pi} \right)^3 \right\} \quad (9)$$

$$C_{mb} = \frac{\text{added mass}}{\rho \left(\frac{\pi}{2} \right)^2} \quad (10)$$

در روابط بالا ρ چگالی سیال و β هم زاویه ددرایز می‌باشد. به منظور بررسی دقیق‌تر پدیده‌ی خیسی چاین و تأثیرات مربوط به آن، در ابتدا از برخورد یک گوشه با زوایه‌ی ۳۰ درجه و استفاده از سه فشارسنج P1، P2 و P3 با فواصل ۰.۰۵۸، ۰.۰۶۵ و ۰.۰۶۸ از رأس گوشه بهره گرفته شده است. بر این اساس، سه ناحیه‌ی اصلی را در برخورد گوشه با توجه به "شکل ۱۴" می‌توان متصور بود. ناحیه‌ی اول مربوط به برخورد با چاین خشک می‌باشد. ناحیه دوم که فشار در آن کاهش می‌یابد مربوط به زمانی خواهد بود که در آن آب بالا آمده و روی سطح گوشه (جت آب) در حال گذر از سطح گوشه و پخش شدن در هوا می‌باشد. بنابراین فشار در این مرحله کاهش خواهد یافت. ناحیه‌ی سوم که مربوط به خیسی چاین می‌باشد و همان‌طور که قبلاً هم اشاره شد، نیروی جرم افزوده (C_{mb}) براساس رابطه (9) برای هر زاویه ددرایز در کل زمان برخورد ثابت بوده و تغییر ندارند. البته با گذر آب از چاین و وقوع خیسی، مقدار جرم افزوده با روندی کند و با مقادیری کوچک افزایش می‌یابد.



شکل ۱۱ مقایسه‌ی بیشینه‌ی فشار در محل فشارسنج ۱ در دو سمت گوشه ($\beta=20\text{deg}$, $h=0.5\text{m}$, $\phi=10\text{deg}$)



شکل ۱۲ مقایسه‌ی بیشینه‌ی فشار در محل فشارسنج ۲ در دو سمت گوشه ($\beta=20\text{deg}$, $h=0.5\text{m}$, $\phi=10\text{deg}$)

۵- پدیده‌ی خیسی چاین

در این پژوهش سعی شده به شبیه‌سازی برخورد گوشه در حالت چاین خشک که همواره از نتایج با قابلیت اطمینان بالاتری برخوردار است پرداخته شود. یعنی حل عددی مسئله تا زمانی ادامه می‌یابد که سطح آب پایین‌تر از سطح بالای گوشه قرار می‌گیرد و آب از چاین گوشه عبور نمی‌کند. با این وجود در ورود گوشه نامتقارن که در "شکل ۱۳" نشان داده شده است، قسمت چپ گوشه که زاویه‌ی کمتری با آب می‌سازد با تقدم وارد آب شده و سبب بروز پدیده‌ی خیسی چاین در یک سمت از گوشه خواهد شد. بنابراین بررسی رفتار گوشه و متغیرهای فیزیکی جریان و نحوه تغییرات آن بعد از بروز خیسی چاین اهمیت خواهد یافت.

در پدیده‌ی ورود گوشه به آب، نیروی کلی وارد بر گوشه حاصل از سه نیروی، مومنtom جریان، جاذبه و مومنتوم جرم افزوده می‌باشد، که بیشترین تأثیر مربوط به نیروی ناشی از جرم افزوده خواهد بود. در حالت چاین خشک ضرائب جرم افزوده (C_{mb}) براساس رابطه (9) برای هر زاویه ددرایز در کل زمان برخورد ثابت بوده و تغییر ندارند. البته با گذر آب از چاین و وقوع خیسی، مقدار جرم افزوده با روندی کند و با مقادیری کوچک افزایش می‌یابد.

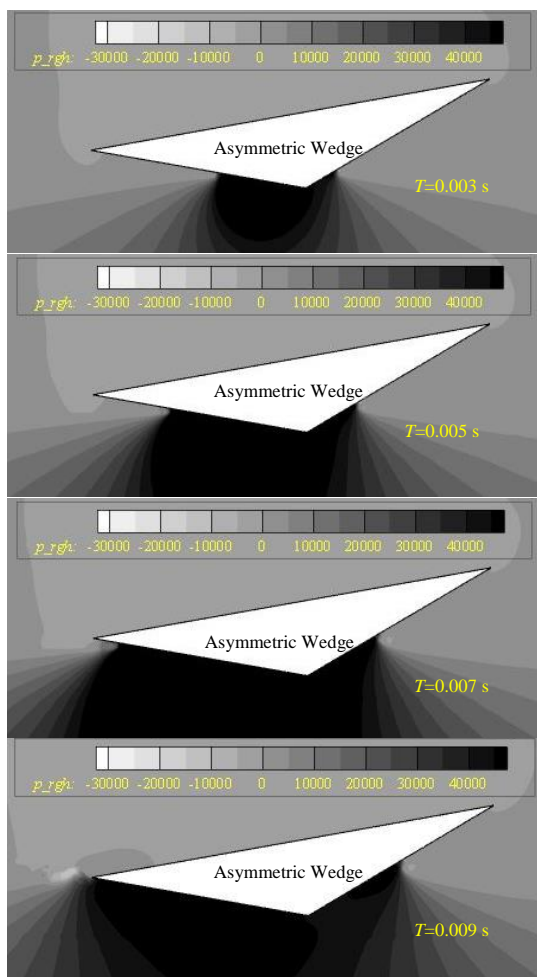


Fig. 16 2D views of pressure contour in asymmetric wedge water entry at different time steps (S7)

شکل 16 نمای دو بعدی کاتور فشار در برخورد گوشه نامتقارن مربوط به حالت S7

5- تأثیر سرعت برخورد گوشه به سطح آب

سرعت برخورد گوشه به آب از جمله متغیرهای مؤثر در پدیده‌ی کوبش می‌باشد. در حالت واقعی، سرعت جسم بعد از برخورد کاهش یافته تا به صفر برسد. اما از آن جایی که بررسی پدیده‌ی کوبش در زمان‌های کوتاه انجام می‌شود، سرعت را همان سرعت ورودی به آب و ثابت در نظر می‌گیرند. تغییرات نیروهای اعمالی بر گوشه با سرعتهای مختلف برخورد را می‌توان در نمودار "شکل 17" مشاهده نمود. در این شکل ارتفاعهای برخورد 0.5 و 0.2 متری از برخورد گوشه با دیدرايز 15 درجه شبیه‌سازی شدند، که در واقع گوشه ثابت بوده و آب با سرعت معادل سقوط گوشه از ارتفاع 0.5 و 0.2 متری یعنی به ترتیب 3.16 و 2 متر بر ثانیه به گوشه برخورد خواهد کرد. به منظور بررسی دقیق‌تر در حوزه‌ی تأثیرپذیری فشار از سرعت برخورد، از متغیر بی‌بعد ضربی فشار استفاده می‌گردد. بدین منظور، شبیه‌سازی با استفاده از گوشه با زاویه‌ی دیدرايز 30 درجه و از سرعتهای معادل سقوط گوشه در ارتفاعهای 0.2 و 0.05 دیدرايز 30 درجه با افزایش سرعت برخورد در فشارسنج G2 مقداری می‌توان مشاهده نمود که با افزایش سرعت برخورد در فشارسنج G2 مربوط به حداکثر فشار کاهش خواهد یافت. البته این کاهش در فشارسنج G1 به صورت نوسانی خواهد بود.

5- تأثیر زاویه‌ی برخورد گوشه به آب

از مهم‌ترین پارامترهای تأثیرگذار در فشار اعمالی از سیال به بدنی جسم در

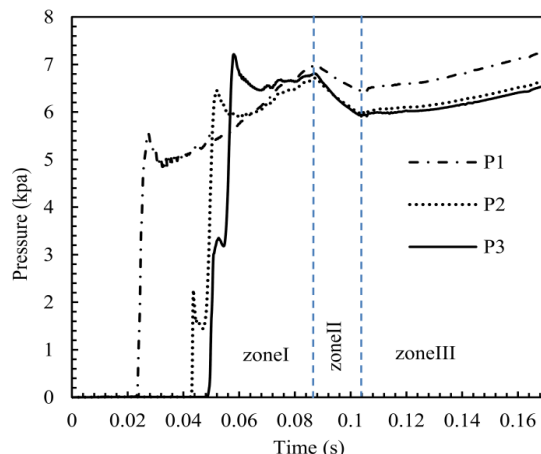


Fig. 14 Comparison result of pressure Gauges for 30 degree wedge impact in 3 zone

شکل 14 مقایسه نتایج خروجی فشارسنج‌ها در برخورد گوشه با زاویه دیدرايز 30 درجه در سه ناحیه

5- پدیده‌ی گیرافتادن هوای

با توجه به کم شدن زاویه‌ی برخورد در سمت چپ گوشه در شبیه‌سازی حالت S7 میزان خیسی سطح گوشه در قسمت چپ، تقریباً دو برابر قسمت راست خواهد بود. از این‌رو در قسمت چپ گوشه که زاویه‌ای 10 درجه با آب می‌سازد در لحظات اولیه‌ی برخورد، پدیده‌ی گیرافتادگی هوای معمولاً در برخورد مقاطع با زاویه دیدرايز کوچک ایجاد می‌شود، نمایان خواهد شد. [18]. می‌توان به وضوح اثرات این پدیده را که همان به وجود آمدن حباب‌های هوای نزدیکی سطح برخورد گوشه می‌باشد، در "شکل 15" که بیانگر کاتور کسر حجمی آب و هوای می‌باشد مشاهده نمود. از این‌رو یکی از ویژگی‌های حباب اینترفوم در مسئله‌ی کوبش توانایی نشان دادن گیرافتادگی هوای می‌باشد، که در اکثر حلبگاه‌های دینامیک سیالات محاسباتی، این پدیده به درستی شبیه‌سازی نمی‌شود و یا اصلاً وقوع چنین پدیده‌ای ثبت نخواهد شد. با توجه به "شکل 15" به وضوح می‌توان پی به وجود حباب‌های هوای در نقاط سپیار نزدیک به سطح میانی گوشه و آب برد. وقوع چنین پدیده‌ای می‌تواند سبب ایجاد فشارهای موضعی و آنی بر روی سطح گوشه شود. تغییرات فشار در زمان‌های مختلف را می‌توان در "شکل 16" مشاهده کرد. همان‌طور در این شکل مشخص است، حداکثر فشار در زمان 0.015 ثانیه رخ می‌دهد که این زمان قبل از وقوع خیسی چاین می‌باشد و در محدوده‌ی چاین خشک رخ می‌دهد، بعد از آن فشار روند نزولی به خود می‌گیرد.

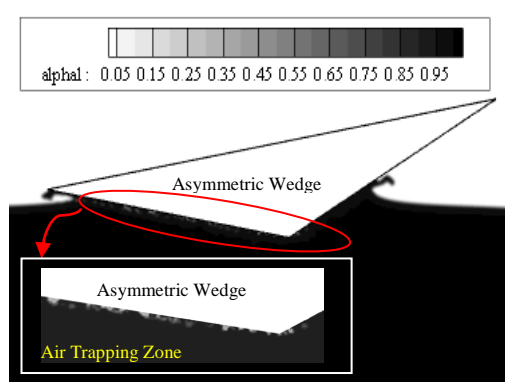


Fig. 15 Appearance of Air Trapping at wedge impact (S7)

شکل 15 نمایش گیرافتادگی هوای در برخورد گوشه مربوط به حل S7

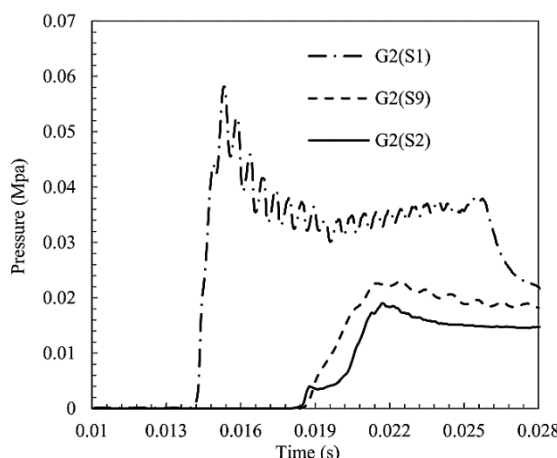


Fig. 19 Comparison of maximum pressure at pressure gauge G2 at different deadrise angles

شکل 19 مقایسه‌ی بیشینه‌ی فشار در محل فشارسنج 2 در دیدرایزهای مختلف

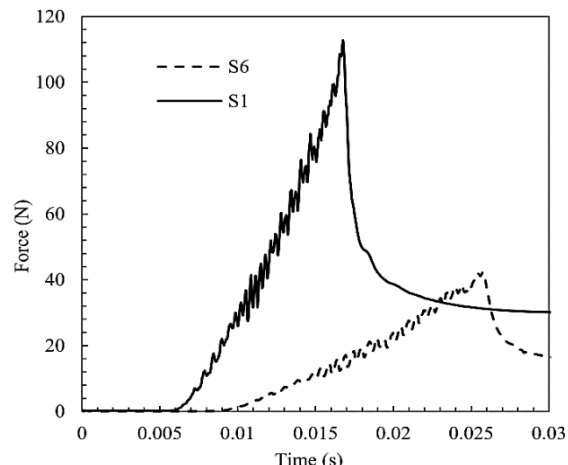


Fig. 17 2D Comparison of acting force on the wedge at different falling heights VS time ($\beta=15\text{deg}$)

شکل 17 مقایسه‌ی نیروی وارد بر گوشه در زمان‌ها و با ارتفاع‌های مختلف ($\beta=15\text{deg}$)

گوشه، فشار به 0.13 مگاپاسکال افزایش می‌یابد. یعنی فشار به صورت تقریبی دو برابر افزایش را نشان می‌دهد. همین روند برای فشارسنج G2 و G3 نیز صدق خواهد کرد. البته مقادیر ذکر شده برای فشار و میزان و درصد افزایش فشار با توجه به موقعیت قرارگیری فشارسنج برای حل مربوط به S6 می‌باشد، که در آن از گوشه با زاویه‌ی دیدرایز 15 درجه و ارتفاع سقوط 0.2 متر استفاده شده است. البته می‌توان این طور از نتایج سایر حل‌های عددی انتظار داشت که نتایجی مشابه با روند حل S6 داشته باشند.

6- بحث و نتیجه‌گیری

ماهیت پدیده‌ی کوبش از لحاظ محاسباتی جزء مسائل با حساسیت بالا محسوب می‌شود، که دلیل آن را می‌توان در کوتاه بودن زمان وقوع حداکثر فشار جست وجو کرد. البته موقعیت‌یابی مختصات وقوع حداکثر فشار را نیز باید به حساسیت‌های این پدیده اضافه نمود. بدین منظور در این مقاله از سرعت‌های مختلف و زوایای مختلف برخورد استفاده شده تا به بررسی صحت نتایج حل عددی در شرایط مختلف کوبش پرداخته شود. با مقایسه‌ی نمودارهای ارائه شده در حالت چاين خشک و قبل از وقوع خیسی چاين می‌توان دریافت که با افزایش زاویه‌ی دیدرایز، فشار ناشی از کوبش بر روی

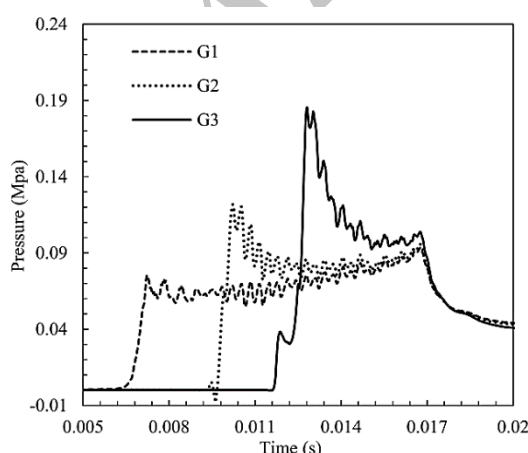


Fig. 20 Comparison of maximum pressure values at pressure gauge G1, G2 and G3 ($\beta=15\text{deg}$, $h=0.2\text{m}$)

شکل 20 مقایسه‌ی مقادیر بیشینه‌ی فشار در محل فشارسنج‌های 1، 2 و 3 ($\beta=15\text{deg}$, $h=0.2\text{m}$)

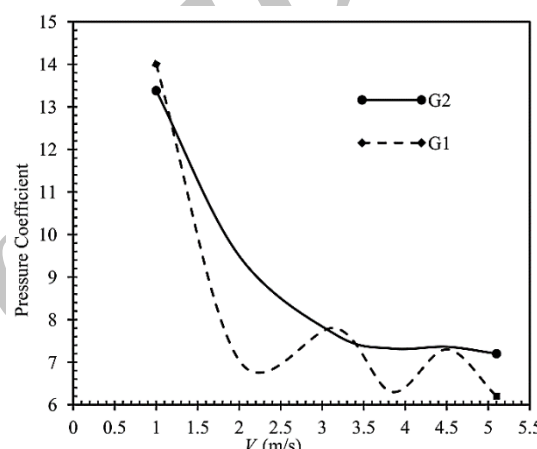


Fig. 18 مقادیر ضرائب حداکثر فشار ثبت شده توسط فشارسنج‌های G1 و G2

شکل 18 مقادیر ضرائب حداکثر فشار ثبت شده توسط فشارسنج‌های G1 و G2

حين پدیده‌ی کوبش، زاویه‌ای است که بدنه با سطح آزاد آب می‌سازد. نتایج حل عددی مربوط به حالت‌های S5، S6 در زوایای دیدرایز مختلف و شرایط برابر برخورد، در "شکل 19" نمایش داده شده است. از نکات قابل توجه در این نمودار، کاهش 38 درصدی در حداکثر فشار اعمالی بر گوشه، با افزایش 10 درجه‌ای در زاویه دیدرایز می‌باشد، که البته در گام بعدی با افزایش 5 درجه‌ای در زاویه‌ی دیدرایز (از 25 به 30 درجه) کاهش 12 درصدی در حداکثر فشار مشاهده می‌گردد.

5- بررسی محل نصب فشارسنج‌ها

همان‌طور که پیشتر نیز بیان شد، پدیده‌ی کوبش از جمله پدیده‌هایی بوده که از سرعت بالایی برخوردار می‌باشد. بنابراین تأثیرات مربوط به آن، به سرعت در سطح گوشه جایه‌جا می‌گردد. از این روش چیدمان فشارسنج و موقعیت قرارگیری آن‌ها می‌تواند یکی از اصول اولیه در تخمین دقیق فشارهای وارد بر گوشه تلقی گردد. با توجه به نمودار استخراج شده در "شکل 20" می‌توان حساسیت بالای محل وقوع حداکثر فشار در پدیده‌ی کوبش را مورد ارزیابی قرار داد. براساس فاصله‌ی 55 میلی‌متری متری فشارسنج‌ها مشاهده می‌شود، با برخورد آب با فشارسنج اول (G1)، فشار ثبت شده به صورت تقریبی 0.07 مگاپاسکال می‌باشد. با ادامه‌ی حرکت و جایه‌جایی 55 میلی‌متری روی سطح

- Advisory Committee for Aeronautics*, Vol. 321, No. 9, pp. 309-313 , 1929.
- [2] H. Wagner, Phenomena associated with impacts and sliding on liquid surfaces, *Mathematic and Mechanic*, Vol. 12, No. 4, pp. 193-215, 1932.
- [3] M. Greenhow, Wedge entry into initially calm water, *Applied Ocean Research*, Vol. 9, No. 4, pp. 214-223, 1987.
- [4] Z. N. Dobrovols'kaya, On some problems of similarity flow of fluid with a free surface, *Journal of Fluid Mechanics*, Vol. 36, No. 4, pp. 805-829, 1969.
- [5] S. Muzafferja, M. Peric, P. Sames, T. Schellin, A two-fluid Navier-Stokes solver to simulate water entry, *Proceedings of 22nd Symposium of Naval Hydrodynamics*, Washington DC, pp. 638-651, 1997.
- [6] A. A. Korobkin, Water impact problems in ship hydrodynamics, *Advances in Marine Hydrodynamics*, Vol. 5, No. 4, pp. 323-371, 1996.
- [7] E. F. Campana, A. Carcaterra, E. Ciappi, A. Iafrati, Parametric analysis of slamming forces: compressible and incompressible phases, *Proceedings of 3rd International Conference on Hydrodynamic*, Seoul, Korea, pp. 167-172, 1998.
- [8] R. Zhao, O. M. Faltinsen, J. Aarsnes, Water entry of arbitrary two-dimensional sections with and without flow separation, *Proceedings of the 21st Symposium on Naval Hydrodynamics*, National Academy Press, Washington DC, pp. 408-423, 1996.
- [9] O. M. Faltinsen, M. Chezian, A generalized wagner method for three-dimensional slamming, *Journal of Ship Research*, Vol. 49, No. 4, pp. 591, 2005.
- [10] P. R. Garabedian, Oblique water entry of a wedge, *Communications on Pure Applied Mathematics*, Vol. 6, No. 2, pp. 157-165, 1953.
- [11] S. F. Borg, Some contributions to the wedge-water entry problem, *Journal of the Engineering Mechanics Division*, Vol. 253, No. 6, pp. 1-1218 1957.
- [12] H. Rusche, *Computational Fluid Dynamics of Dispersed Two-Phase Flows at High Phase Functions*, Ph.D Thesis, University of London, 2002.
- [13] R. Issa, Solution of the implicitly discretized fluid flow equations by operator splitting, *Journal of Computational Physics*, Vol. 62, No. 1, pp. 40-65, 1985.
- [14] M. Barjasteh, H. Zeraatgar, M. J. Javaherian, An experimental study on water entry of asymmetric wedge, *Applied Ocean Research*, Vol. 58, No. 1, pp. 292-304, 2016.
- [15] O. Aagaard, *Hydroelastic Analysis of Flexible Wedges*, Master Thesis, Norwegian university of science and Technology, 2013.
- [16] <http://www.openfoam.com>, The open source CFD toolbox and OpenFOAM UserGuide.
- [17] A. C. Fairlie-Clarke, T. Tveitnes, Momentum and gravity effects during the constant velocity water entry of wedge-shaped sections, *Applied Ocean Engineering*, Vol. 35, No. 7, pp. 706-716, 2008.
- [18] S. Seng, *Slamming and Whipping Analysis of Ships*, Ph.D Thesis, DTU Mechanical engineering, 2012.
- [19] R. Panciroli, A. Shams, M. Porfiri, Experiments on the Water entry of curved wedges: High speed imaging and particle image velocity, *Applied Ocean Engineering*, Vol. 94, No. 10, pp. 213-222, 2015.

بدنه کاهش می‌یابد. دلیل این امر را می‌توان در ضرب بالا روندگی^۱ آب و طول خیس شده‌ی بدنه جستجو کرد. برطبق مطالعات صورت گرفته توسط پانسیرویلی و همکاران 60 تا 80 درصد انرژی برخورد صرف بالا رفتن آب از سطح جسم خواهد شد که در متون علمی با عنوان، آب بالا آمده^۲ شناخته می‌شود [19]. این عامل، خود به دو بخش آب بالا آمده و اسپری جت تقسیم می‌شود. بنابراین با افزایش زاویه‌ی دیدایز، طول خیسی از سطح گوشه‌ی صلب به سمت بالا گرفته و در نتیجه درصد بالایی از حجم آب برخورده به گوشه به سمت بالا حرکت می‌کند، که به تبع آن فشار کمتری به گوشه اعمال می‌گردد. از سوی دیگر، با به کار گیری فشارسنج‌های مختلف در طول صفحات گوشه و مقایسه‌ی فشارهای ثبت شده در نمودارها، می‌توان به این نتیجه رسید که حداکثر فشار تقریباً در میانه‌ی صفحات گوشه به ثبت می‌رسد. در نهایت با در نظر گرفتن گوشه‌های نامتقارن با زوایای انحراف متفاوت و استفاده از فشارسنج‌هایی در سمت راست و چپ گوشه می‌توان به این درک از مسئله کوبش رسید که تغییرات هر چند کوچک در زاویه‌ی دیدایز می‌تواند منتج به تغییرات قابل توجهی در فشار اعمالی از سیال به سطح گوشه شود. از طرفی با مقایسه‌ی نتایج در این مقاله با نتایج آزمایشگاهی، دقت بالای حل عددی به اثبات رسیده، که خطایی به صورت میانگین 5 درصد را شامل می‌گردد. بنابراین از این حلگر می‌توان در مسائلی که به منظور به دست آوردن فشارهای ناشی از برخورد آنی سازه و سیال در شرایط مختلف برخورد تعریف می‌گردد استفاده نموده و نتایج قبل قبولی به دست آورده. همچنین، مقادیر بیشینه‌ی فشار و توزیع آن در مقابل زمان می‌تواند به عنوان منبعی برای تحلیل‌های سازه‌ای شناورهای تندره که در معرض پدیده‌ی کوبش قرار دارد مورد استفاده قرار گیرد.

7- مراجع

- [1] T. Von Karman, The impact on seaplane floats during landing, *National*

¹ pile-up
² risen water